VIGILANCIA SINÓPTICA DE SUDAMÉRICA

INFORME
JULIO 2025

PRÓXIMO INFORME A ACTUALIZAR
AGOSTO 2025

Dirección de Meteorología y Evaluación Ambiental Atmosférica – DMA
Subdirección de Predicción Meteorológica – SPM

ANÁLISIS MENSUAL

NIVELES ALTOS
Viento (m/s) – 250 hPa

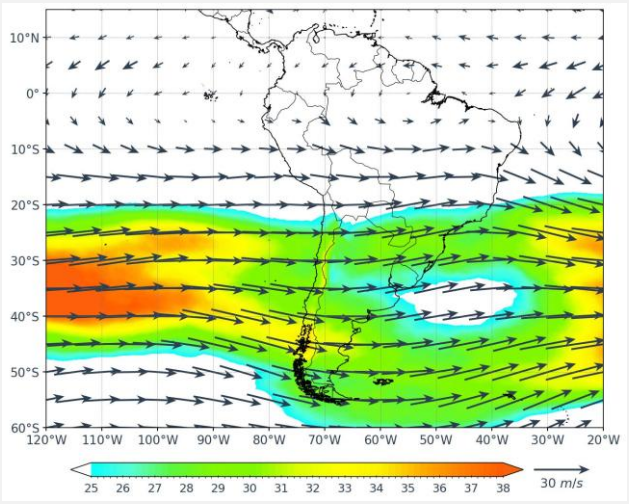

NIVELES MEDIOS
Viento (m/s) – 500 hPa/ Humedad (%)

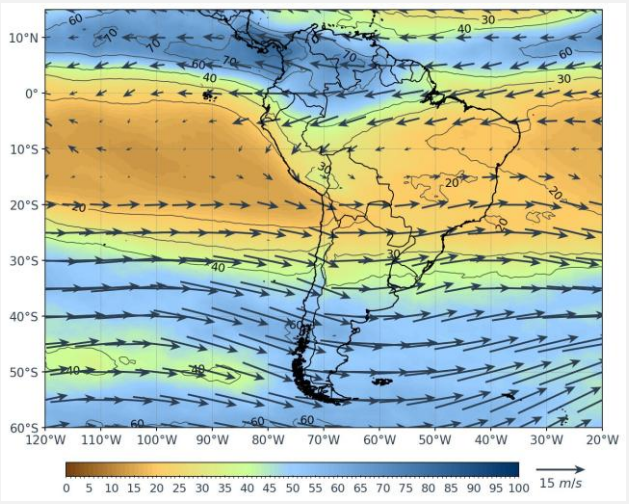

NIVELES BAJOS
Viento (m/s) – 850 hPa

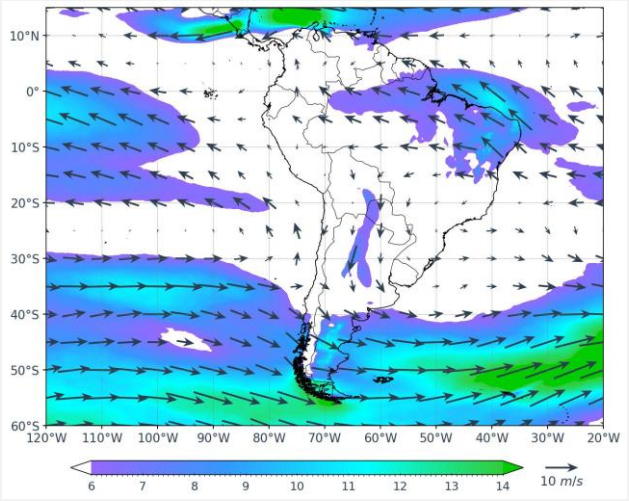

SUPERFICIE
Presión reducida a nivel del mar (hPa)

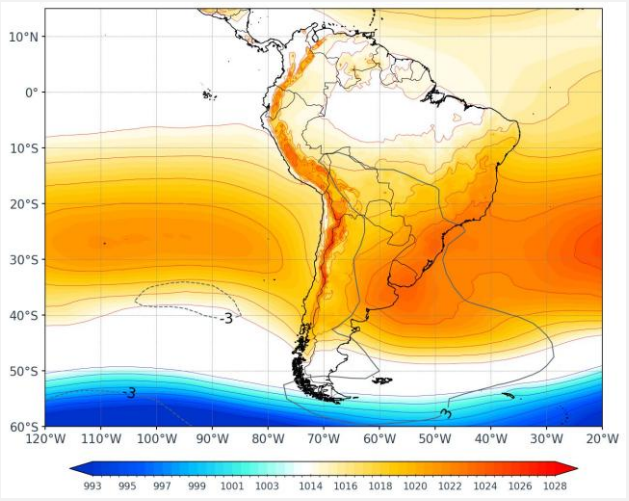

Para el mes de julio, en niveles altos, se presentó con mayor frecuencia una dorsal que tuvo una configuración mayormente zonal, aportando inestabilidad localizada sobre el norte de Brasil, Venezuela y Colombia, principalmente. Asimismo, desde los 10°S hacia latitudes mayores prevalecieron vientos del oeste con componente zonal dominante a partir de los 15°S, asociado a un onda con buena curvatura ubicada entre los 25°S a 55°S. Por otro lado, el Jet Subtropical (JS) se presentó acoplado con el ramal norte del Jet Polar (JP) principalmente desde los 120°W a 70°W, además alcanzó una velocidad promedio máxima cercana a los 38 m/s.

En niveles medios, predominaron flujos del oeste con componente zonal dominante desde los 20°S hacia latitudes mayores, asociados a una onda que se reflejó desde niveles altos, que presentó una vaguada sobre el centro-sur de Chile y Argentina; por otro lado, hacia el Ecuador prevalecieron flujos de viento del este. También, predominaron patrones de circulación antihoraria, uno configurado sobre el Océano Pacífico (con núcleo no definido), alrededor de los 10°S, y otro sobre el este de Brasil (que se extendió desde el Océano Atlántico). Estos sistemas favorecieron el ingreso de flujos del este con humedad cercana al 70% hacia Colombia, Venezuela y países de Centro América; por otro lado, sobre gran parte del resto del continente propiciaron el ingreso de aire seco con valores por debajo del 40% de humedad, principalmente al centro-sur de Brasil, norte de Chile y Argentina, Paraguay, Bolivia y Perú.

En niveles bajos, a 850 hPa, predominaron flujos de componente este sobre el norte de Sudamérica aportando humedad proveniente del Atlántico sobre países del norte y centro del continente, asimismo, se presentó el incremento en la velocidad de viento sobre Bolivia, Paraguay y Argentina con valores cercanos a 11m/s, transportando condiciones de humedad e inestabilidad hacia esos sectores, reflejando la presencia del Jet de Bajos Niveles (JBN). En superficie, el Anticiclón del Pacífico Sur (APS) predominó con configuración zonal con núcleo en los 28°S y 105°W, desplazado hacia el noroeste de su posición climática, con una intensidad superior a los 1020 hPa (menos intenso respecto a su promedio); asimismo, el Anticiclón del Atlántico Sur (AAS), se presentó desplazado hacia el oeste de su posición climática y con una intensidad superior a su promedio. Por otro lado, se reflejó el paso de altas migratorias (AM) durante el mes con el incremento de presión sobre Argentina, Uruguay, Paraguay y Brasil.

ANÁLISIS

Primera decadiaria

NIVELES ALTOS
Viento (m/s) – 250 hPa

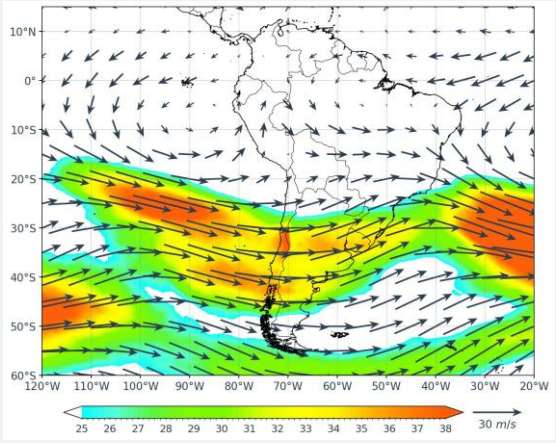

NIVELES MEDIOS
Viento (m/s) – 500 hPa/ Humedad (%)

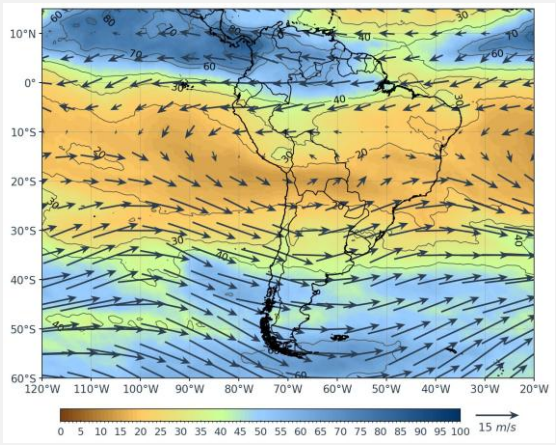

NIVELES BAJOS
Viento (m/s) – 850 hPa

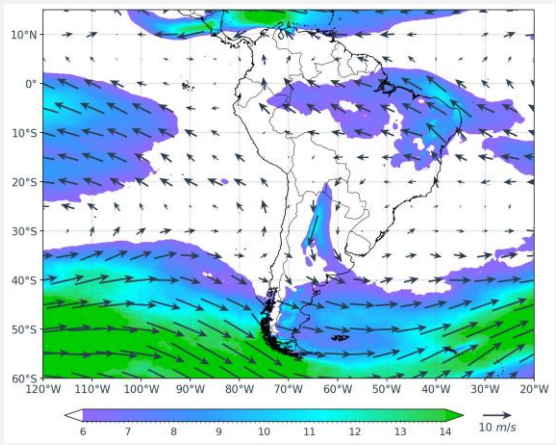

SUPERFICIE
Presión reducida a nivel del mar

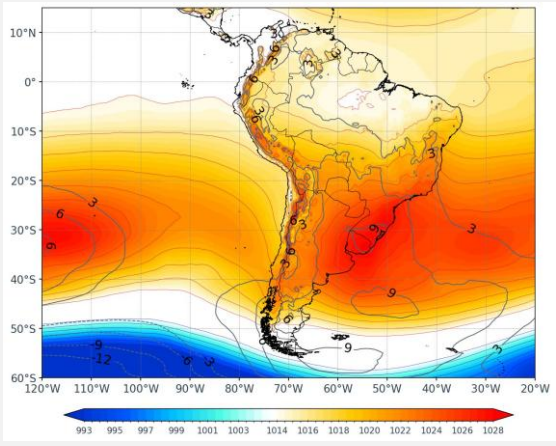

En niveles altos, se presentó con mayor frecuencia una dorsal poco configurada (al norte de Sudamérica) y un sistema anticiclónico (sobre el Pacífico), generando inestabilidad localizada hacia los países ubicados al norte del continente Sudamericano, sin embargo, también propició estabilidad en gran parte del centro de Sudamérica. Así también, predominaron flujos del oeste desde 13°S hacia latitudes mayores (con componente zonal dominante), influenciados por la presencia de una onda proveniente del oeste, que presentó una vaguada sobre el centro-sur de Chile (acentuando la inestabilidad). Por otro lado, el JS predominó acoplado al ramal norte del JP, desde los 100°W a 20°W, además se alcanzaron velocidades promedio máximas cercanas a los 38 m/s.

En niveles medios, al norte de Sudamérica prevalecieron flujos de componente este que trasladaron humedad (entre 60-80%) hacia el norte de Brasil y Perú, Colombia, Venezuela, Ecuador y demás países del extremo norte del continente. Asimismo, predominaron patrones de circulación antihoraria, una alrededor de los 15°S sobre el Océano Pacífico y otra alrededor de los 12°S sobre el Océano Atlántico, asociados al ingreso de aire seco (por debajo de los 40% de humedad) sobre el centro-norte de Argentina y Chile, Paraguay, Uruguay, Bolivia, Perú y centro-sur de Brasil. También, prevaleció una onda con una vaguada ubicada sobre el centro-sur de Chile y Argentina, que se reflejó desde niveles altos, favoreciendo la inestabilidad en ese sector.

En superficie, el APS presentó una configuración zonal con núcleo en los 30°S y 120°W, con valores de presión por encima de los 1026 hPa, más intenso respecto a lo climático y desplazado hacia el oeste. Asimismo, el AAS se mostró al oeste de su posición climática y con valores de presión por encima de su promedio. Además prevaleció la incursión de bajas presiones hacia latitudes más bajas de lo usual. Por otro lado, se reflejó un incremento de presión sobre Argentina, Uruguay, Paraguay y Brasil, lo que refleja el paso de altas migratorias (AM). En niveles bajos, predominaron flujos de componente este sobre el noreste de Sudamérica aportando humedad sobre el norte y centro del continente. Asimismo, se mostró un incremento de viento sobre el norte de Argentina con velocidades cercanas a 13 m/s, transportando condiciones de inestabilidad y humedad hacia esos sectores.

ANÁLISIS

Segunda decadiaria

En niveles altos, prevaleció con mayor frecuencia una dorsal poco configurada (al norte de Sudamérica), lo que favoreció la inestabilidad en mayor medida sobre el norte de Brasil, Venezuela y Colombia. Además, prevalecieron flujos del oeste desde los 5°S hacia latitudes mayores (con componente zonal dominante), influenciados por la presencia de ondas, que presentaron vaguadas sobre Perú y el sur de Chile y Argentina (acentuando la estabilidad). Por otro lado, el JS se presentó acoplado con el ramal norte del JP de forma sectorizada, presentando velocidades promedio máximas cercanas a los 38 m/s.

En niveles medios, al norte de Sudamérica prevaleció el contenido de humedad entre 60-80%, principalmente sobre el norte de Brasil, Colombia, Venezuela y demás países del extremo norte, debido a la prevalencia de flujos de componente este al norte de Sudamérica. También, predominaron flujos del oeste desde los 20°S hasta latitudes mayores, asociadas a ondas que se reflejaron desde niveles altos (que presentaron vaguadas sobre el norte y sur de Chile, acentuando la inestabilidad); asimismo, prevalecieron patrones de giro anticiclónico uno sobre el océano Pacífico y otro sobre el centro-este de Brasil (ambos alrededor de los 15°S), estos factores favorecieron el ingreso de aire seco (menos del 40% de humedad) sobre gran parte del centro-sur del continente, principalmente sobre Brasil, Chile, Argentina, Paraguay, Bolivia y Perú.

En superficie, el APS presentó una configuración cuasi meridional con un núcleo en los 32°S y 87°W, con valores de presión por encima de los 1024 hPa, más intenso respecto al climático y desplazado hacia el sureste. Asimismo, el AAS predomino desplazado hacia el suroeste y con una intensidad superior del promedio. Además prevaleció la incursión de bajas presiones hacia latitudes más bajas de lo usual. Por otro lado, se reflejó el paso de altas migratorias (AM), con el incremento de presión sobre Argentina, Uruguay, Brasil y Paraguay. En niveles bajos, predominaron flujos de origen este sobre el noreste de Sudamérica, los que se desplazaron sobre la amazonia aportando humedad sobre la región norte y centro del continente, además, se presentó un ligero incremento de la velocidad del viento sobre el norte de Argentina con velocidades cercanas a 8m/s, reflejando la presencia del JBN, que favoreció al transporte de humedad y a la inestabilidad.

NIVELES ALTOS
Viento (m/s) – 250 hPa

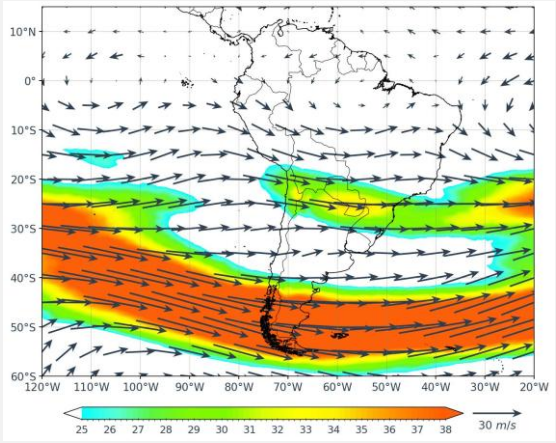

NIVELES MEDIOS
Viento (m/s) – 500 hPa/ Humedad (%)

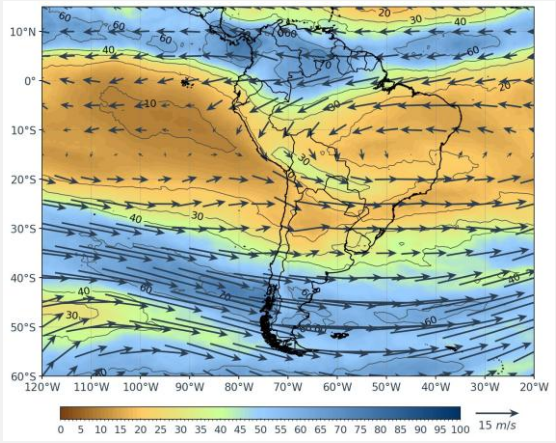

NIVELES BAJOS
Viento (m/s) – 850 hPa

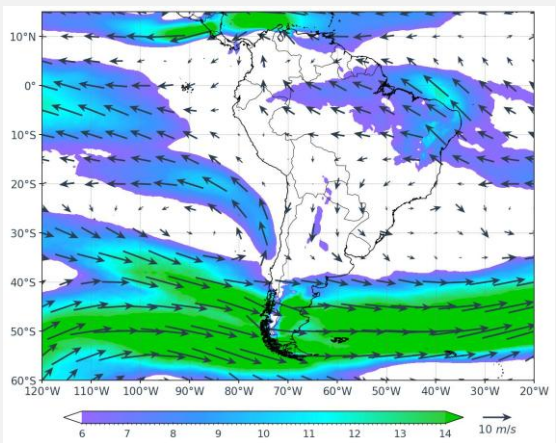

SUPERFICIE
Presión reducida a nivel del mar

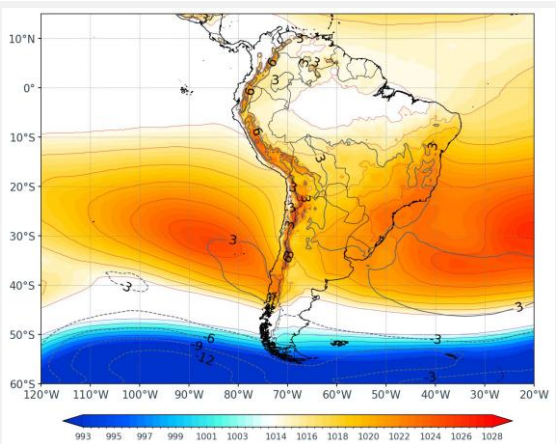

ANÁLISIS

Tercera decadiaria

NIVELES ALTOS
Viento (m/s) – 250 hPa

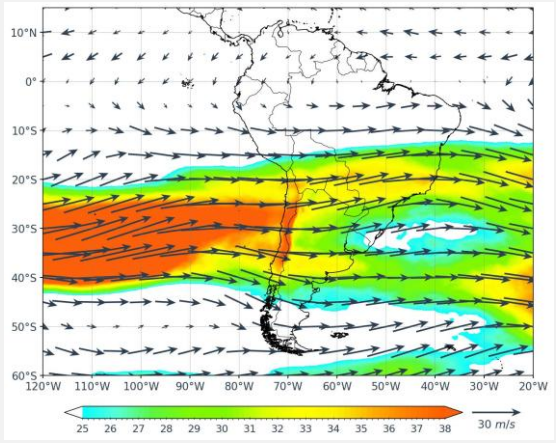

NIVELES MEDIOS
Viento (m/s) – 500 hPa/ Humedad (%)

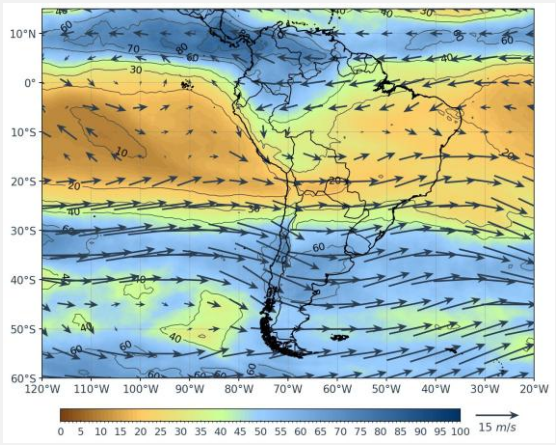

NIVELES BAJOS
Viento (m/s) – 850 hPa

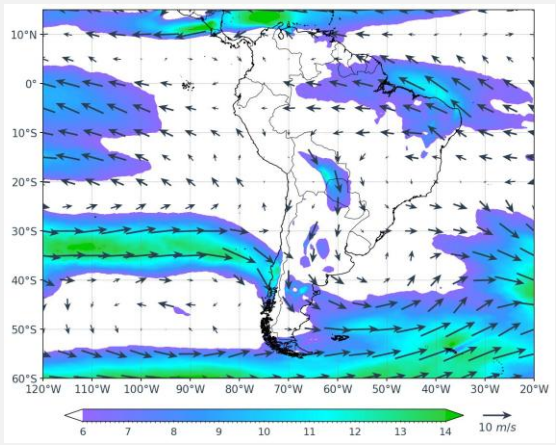

SUPERFICIE
Presión reducida a nivel del mar

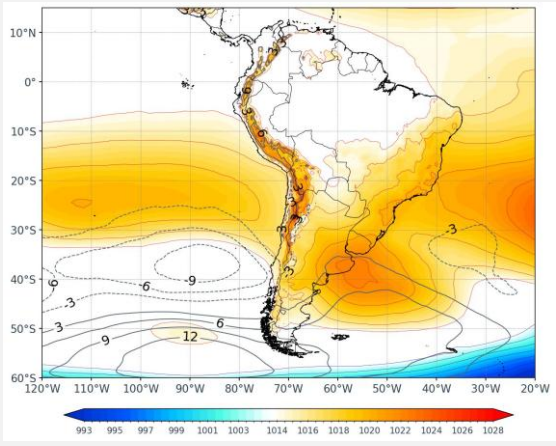

En niveles altos, prevaleció la presencia de una dorsal, que favoreció inestabilidad localizada al norte de Brasil y Perú, Colombia y Ecuador, sin embargo, también propició estabilidad en gran parte de Sudamérica. Así mismo, se tuvo el dominio de flujos del oeste, desde 10°S hacia latitudes mayores (con componente zonal dominante), asociados a la presencia de ondas proveniente del oeste, que presentaron vaguadas sobre el centro-norte de Chile (acentuando la inestabilidad). Por otro lado, el JS predominó acoplado al ramal norte del JP en gran parte del área de análisis, presentando velocidades promedio máximas cercanas a 38 m/s.

En niveles medios, al norte de Sudamérica prevalecieron flujos del este transportando humedad (entre 60-80% de humedad) hacia Colombia y Venezuela, principalmente. Así mismo, predominaron patrones de circulación anticiclónica, una sobre el pacífico (alrededor de los 13°S) y otra sobre el este Brasil (que se extendió desde el Atlántico); también se presentaron flujos dominantes del oeste desde los 20°S hacia latitudes mayores, asociados a ondas reflejadas desde niveles altos (con una vaguada sobre Chile y el centro-sur de Argentina, que acentuó la inestabilidad sobre esos sectores); estos patrones favorecieron el ingreso de aire seco (menor al 40% de humedad) sobre gran parte del centro-sur del continente, especialmente sobre el norte de Chile y Argentina, Paraguay, Bolivia, Perú y Brasil.

En superficie, el APS presentó una configuración mayormente zonal y núcleo en los 23°S y 112°W con valores cercanos a los 1020 hPa, menos intenso respecto al climático y desplazado hacia el noroeste. Por otro lado, el AAS predominó desplazado al este de su posición climática y con una intensidad similar a su promedio. Asimismo, se reflejó el paso significativo de altas migratorias (AM) con el incremento de presión sobre Argentina, Uruguay y Brasil. En niveles bajos, predominaron flujos de origen este sobre el noreste de Sudamérica, aportando humedad sobre el norte-centro del continente, así también, se presentó un incremento de la velocidad del viento sobre Bolivia, Paraguay y Argentina, alcanzando velocidades cercanas a 13m/s (reflejando la presencia del JBN), transportando condiciones de humedad e inestabilidad hacia esos sectores.

ANÁLISIS MENSUAL

ANOMALÍA DE RADIACIÓN DE ONDA LARGA

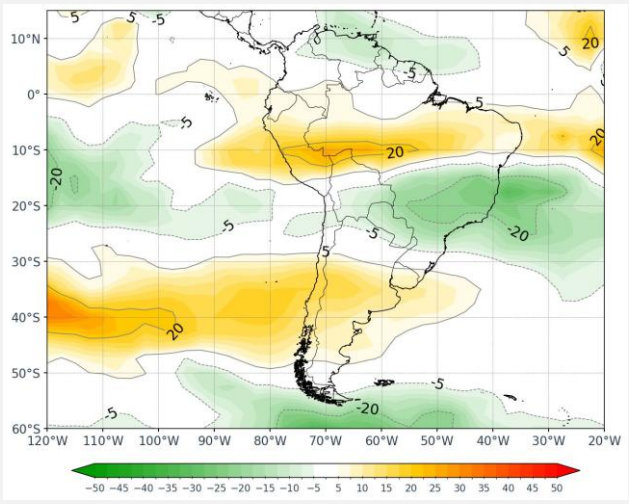

ANOMALÍA DE AGUA PRECIPITABLE

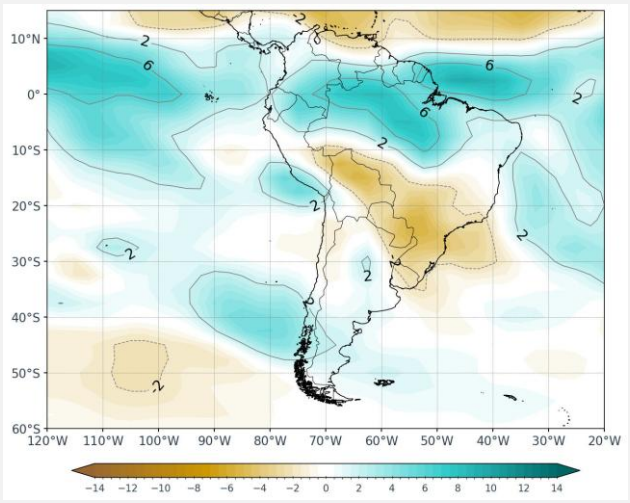

Respecto a las anomalías mensuales de radiación de onda larga, se apreciaron anomalías negativas de manera sectorizada sobre el extremo norte del Sudamérica, alrededor de los 23°S y hacia latitudes polares, involucrando principalmente Venezuela, Brasil, Bolivia y Paraguay, esto asociado a la presencia de mayor nubosidad en respuesta al mayor contenido de humedad respecto a lo climático. Por otro lado, se apreciaron anomalías positivas en las franjas de 10°S y 40°S, afectando principalmente Perú, Brasil, Chile, Argentina y Uruguay, relacionadas a la ausencia de nubosidad en la zona, además, estas anomalías positivas podrían ser el reflejo de una disminución en las precipitaciones respecto a lo climático.

Las anomalías mensuales de agua precipitable reflejaron anomalías positivas en gran parte del área de análisis y de Sudamérica, de manera más acentuada sobre el norte de Brasil, Perú, Ecuador, Colombia, sur de Chile, y en gran parte del Pacífico y del Atlántico, los cuales estuvieron asociados a un incremento de la misma respecto a su climatología, lo que pudo haberse reflejado con mayor nubosidad y probables precipitaciones. Por otro lado, las anomalías negativas abarcaron zonas localizadas como en Venezuela, Uruguay, Paraguay, Bolivia, el sureste de Perú y el sur de Brasil, indicando la poca actividad convectiva y disminución de agua precipitable respecto a su climatología (relacionado a zonas con más sequedad de lo usual).

ANÁLISIS TEMPORAL

Presión reducida al nivel del mar

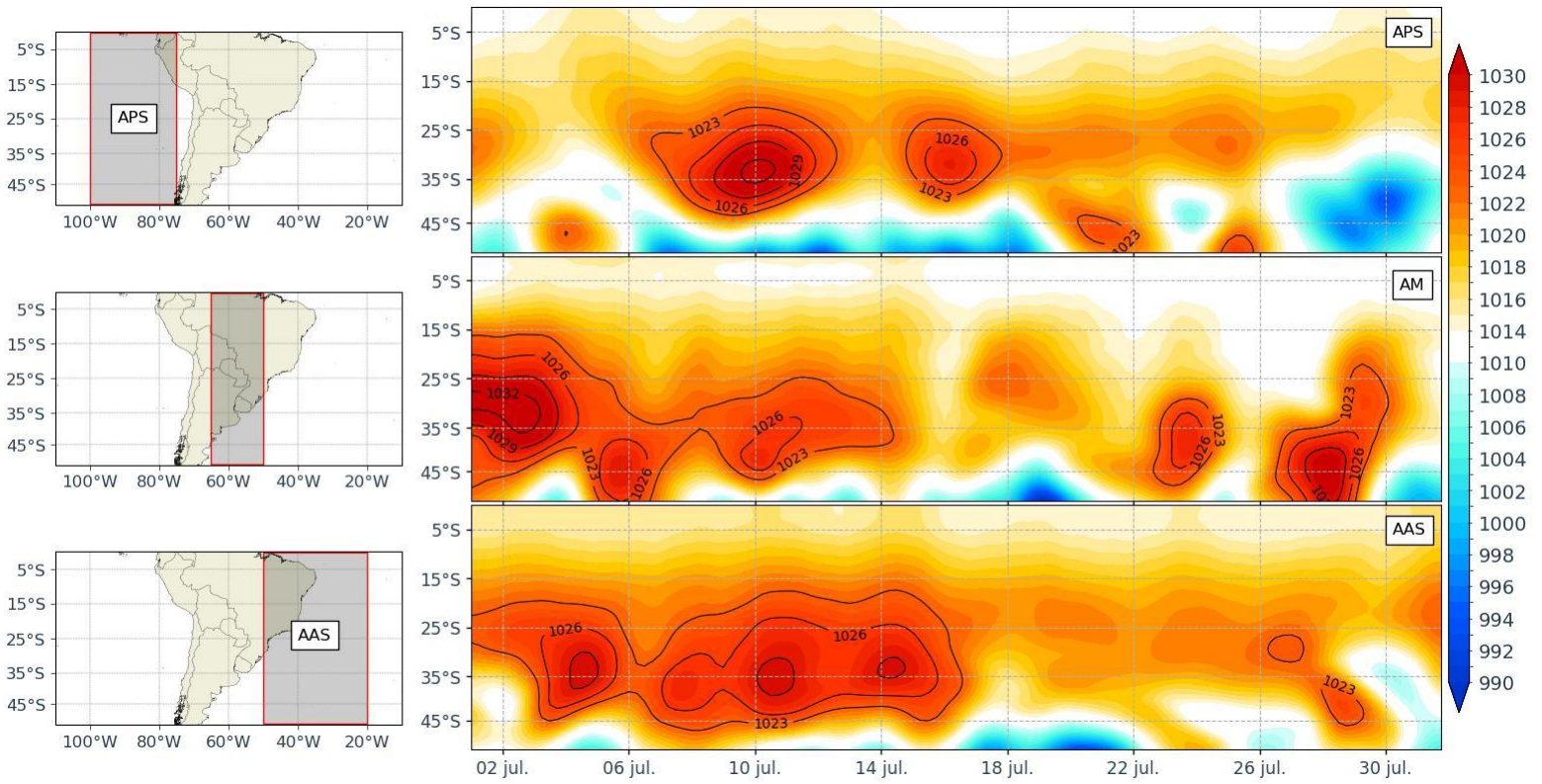

Durante el mes de julio, el APS superó los 1023 hPa entre el día 6 y 26, llegando a alcanzar incluso valores cercanos a 1032hPa alrededor del día 10, para el resto del periodo se tuvieron en su mayoría valores bajos de presión (sección APS). Por otro lado, el AAS llegó a superar los 1023 hPa de manera marcada entre el día 1 y 16, llegando a alcanzar incluso valores cercanos a los 1029 hPa durante este periodo (sección AAS). Respecto a las altas migratorias (AM), se presentó una intensificación para las primeras semanas y hacia la última semana del mes (donde se llegó a alcanzar los 1032 hPa para los primeros días del mes), estos incrementos estuvieron asociados a la presencia del décimo cuarto al décimo sexto friaje del año en la selva peruana.

Director de Meteorología y Evaluación Ambiental Atmosférica
Julio Ernesto Urbiola del Carpio
jurbiola@senamhi.gob.pe

Subdirector de Predicción Meteorológica
Piero Rivas Quispe
privas@senamhi.gob.pe

Elaboración y redacción:
- Bremilda Sutizal Sánchez
  bsutizal@senamhi.gob.pe

Para mayor información sobre los avisos meteorológicos, visite este link :
http://www.senamhi.gob.pe/avisos

Próxima publicación: SEPTIEMBRE 2025

Servicio Nacional de Meteorología e Hidrología del Perú - SENAMHI
Jr. Cahuide 785, Jesús María
Lima - Perú

Central telefónica: 614-1414
Unidad Funcional de Atención al Ciudadano:
470-2867
Pronóstico: 614-1407 o 265-8798
(Atención las 24 horas vía WhastApp)

Consultas y sugerencias:
pronosticador@senamhi.gob.pe